

МИНИСТЕРСТВО НАУКИ И ВЫСШЕГО ОБРАЗОВАНИЯ РОССИЙСКОЙ ФЕДЕРАЦИИ

ФЕДЕРАЛЬНОЕ ГОСУДАРСТВЕННОЕ АВТОНОМНОЕ ОБРАЗОВАТЕЛЬНОЕ
УЧРЕЖДЕНИЕ ВЫСШЕГО ОБРАЗОВАНИЯ

«НОВОСИБИРСКИЙ НАЦИОНАЛЬНЫЙ ИССЛЕДОВАТЕЛЬСКИЙ ГОСУДАРСТВЕННЫЙ
УНИВЕРСИТЕТ» (НОВОСИБИРСКИЙ ГОСУДАРСТВЕННЫЙ УНИВЕРСИТЕТ, НГУ)

Факультет **ФИЗИЧЕСКИЙ**

Кафедра **ФИЗИКИ ПЛАЗМЫ**

Направление подготовки **03.03.02 ФИЗИКА**

Образовательная программа: **БАКАЛАВРИАТ**

ВЫПУСКНАЯ КВАЛИФИКАЦИОННАЯ РАБОТА БАКАЛАВРА

Федоренкова Эдуарда

(Фамилия, Имя, Отчество автора)

Тема работы Кинетика упругого взаимодействия нейтрального газа и плазмы в расширителе открытой ловушки

«К защите допущена»

Заведующий кафедрой

д-р физ.-мат. наук,

профессор

Иванов А. А./.....
(фамилия И., О.) / (подпись, МП)

«.....».....2018 г.

Научный руководитель

канд. физ.-мат. наук,

в.н.с., ИЯФ СО РАН

Беклемишев А. Д./.....
(фамилия И., О.) / (подпись, МП)

«.....».....2018 г.

Дата защиты: «.....».....2018 г.

Оглавление

1	Введение	3
2	Физическая постановка задачи	5
3	Математическая модель	6
4	Задача внутри плазмы	8
4.1	Модель однократных столкновений с плоской границей в пространстве скоростей	10
4.2	Модель упругих шаров	13
4.3	Проверка сохранения числа частиц в модели с плоской границей для упругих шаров	13
4.4	Результаты в модели упругих шаров	14
4.5	Модель с реальным сечением	19
4.6	Результаты для упругого рассеяния протона на молекуле водорода	21
5	Задача вне плазмы	22
5.1	PT задача	22
5.2	Связь ГУ на стенке с ГУ для задачи внутри плазмы	23
6	Выводы	26
	Список литературы	27
A	Решение кинетического уравнения	28
B	Интегралы по скоростям и моменты ФР в модели упругих шаров	29
B.1	интегралы по v_z и v_θ	29
B.2	плотность потока импульса	30
B.3	плотность потока импульса	32

1. Введение

На установке ГДЛ в течение многих лет ведутся экспериментальные исследования по удержанию горячей плазмы. Характерным элементом подобных установок является расширитель потока плазмы, вытекающей из магнитных пробок. Схема расширителя ГДЛ приведена на рис. 1

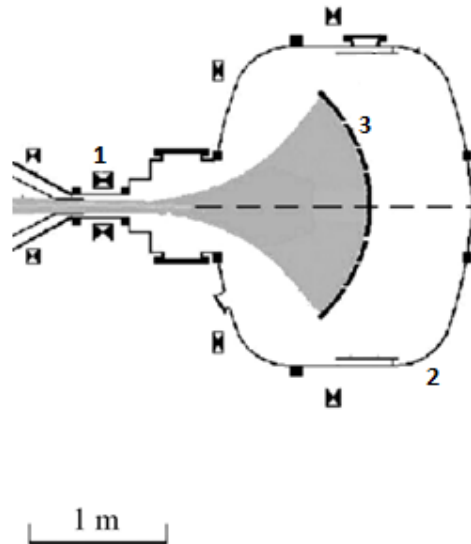


Рис. 1. Схема расширителя на установке ГДЛ. Здесь 1 - магнитная пробка, 2 - бак расширителя, 3 - плазмоприёмник.

Расширяющийся поток плазмы приводит к образованию амбиполярного электрического потенциала, который замедляет электроны. Таким образом расширитель позволяет подавлять электронный поток тепла. Кроме того, расширитель позволяет решать ряд технических задач: снизить тепловые нагрузки на торцевую стенку, осуществить непосредственную рекуперацию энергии плазмы в электрическую и т. д.

Однако в расширителе происходят процессы, которые могут оказать негативное влияние на параметры плазмы. В расширителе находится относительно холодный, нейтральный, остаточный газ, который может ионизоваться при столкновении с вытекающей плазмой. Холодные электроны могут свободно проникать в центральную часть установки, тем самым охлаждая плазму. На первый взгляд избавиться от этого эффекта довольно просто, нужно всего лишь достаточно хорошо откачать бак расширителя, однако это налагает очень высокие требования к системе откачки. Поэтому возникла задача определения предельно допустимой концентрации газа n_{crit} в плазме, при которой можно было бы пренебречь

ионизацией газа.

Для установки ГДЛ была получена оценка $n_{crit} \sim 10^{12} \text{ см}^3$, а также был проведён эксперимент, в котором хотели проверить полученную оценку для n_{crit} [1]. Эксперимент был устроен следующим образом. Перед зажиганием плазмы в расширитель через клапан напускали газ до определённой концентрации. После чего создавалась плазма и измерялся поток нейтронов. Результат этого эксперимента представлен на рис. 2. Из результатов видно, что ГДЛ работает вплоть до начальной концен-

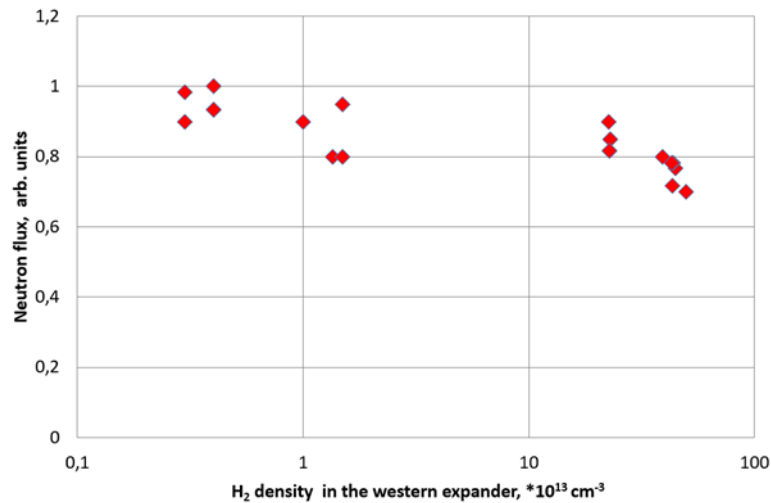


Рис. 2. Поток нейтронов в зависимости от концентрации газа до начала эксперимента. трации в расширителе $n_i \sim 10^{14} \text{ см}^3$. Чтобы объяснить эти результаты, была выдвинута гипотеза о том, что плазма вытесняет газ к стенкам расширителя. Эта работа нацелена на теоритическое исследование упругого взаимодействия газа и плазмы. В результате учёта только этого эффекта в данной работе будет продемонстрировано, что концентрация газа вблизи стенки расширителя и концентрация газа в плазме может отличаться на несколько порядков.

2. Физическая постановка задачи

Чтобы продемонстрировать эффект вытеснения газа из плазмы, будем решать задачу в идеализированных условиях по сравнению с реальным расширителем.

Пусть имеется бесконечный, однородный плазменный цилиндр в постоянном однородном магнитном поле \vec{B} , плазма имеет максвелловское распределение с температурой T_1 , концентрация плазмы n_1 . Концентрацию газа будем обозначать n , а температуру газа T . Причём будем считать, что $T_1 \gg T$. Пусть также плазма замагничена и находится в стационарном состоянии на протяжении всего взаимодействия газа и плазмы. Будем учитывать только упругие столкновения газа и плазмы, причём такие, что в результате столкновения газ приобретает большую скорость, порядка нескольких тепловых скоростей газа.

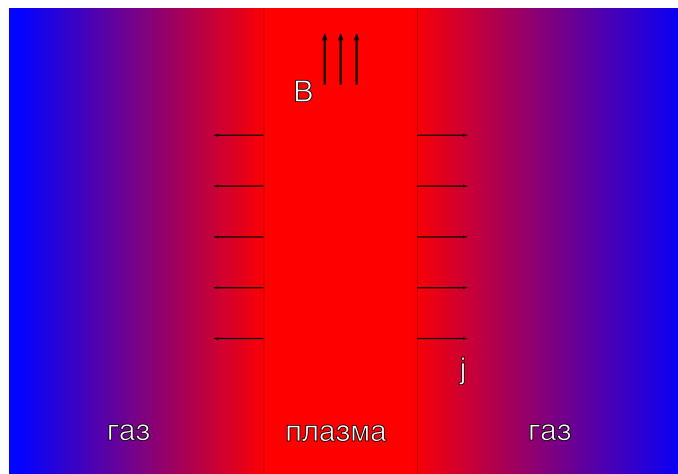


Рис. 3. Иллюстрация к постановке задачи.

3. Математическая модель

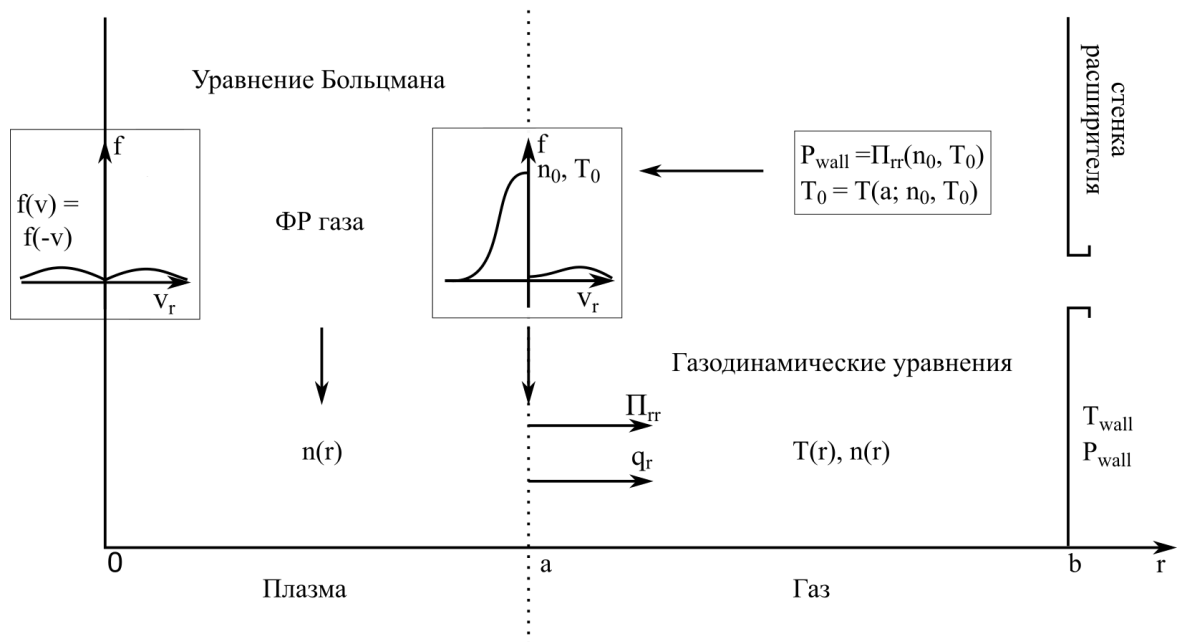


Рис. 4. Схема математической модели.

Математическую модель условно разделим на 3 части, для простоты.

1. Задача внутри плазмы.
2. Задача вне плазмы.
3. Определение граничных условий для задачи внутри плазмы, по граничным условиям на стенке установки.

В первой части будем искать ФР газа в плазме, решая кинетическое уравнение. В качестве граничного условия будем считать, что газ, проникающий в плазму, имеет максвелловское распределение, с параметрами n_0, T_0 . Также из-за цилиндрической симметрии ФР газа на оси цилиндра должна быть симметричной по скоростям. Из ФР газа в плазме определяется концентрация газа $n(r)$, потоки тепла и импульса газа.

Во второй части будут решаться газодинамические уравнения. Потоки тепла и импульса газа из плазмы будут использованы в качестве граничных условий. В части возможны две постановки задачи:

1. На стенке установки задана температура и давление, то есть стенки с открытым клапаном, газ может вытекать из установки. PT задача.

2. На стенке установки задана температура и фиксированно полное число газа в установке. NT задача.

В третьей части определяется связь граничных условий на стенке установки и параметрами ФР проникающего в плазму газа: n_0 и T_0 . Таким образом, вся задача будет определяться граничными условиями на стенке установки.

4. Задача внутри плазмы

Рассмотрим кинетическое уравнение с интегралом столкновений Больцмана:

$$\frac{\partial f}{\partial t} + v_k \frac{\partial f}{\partial x_k} = \int |\vec{v} - \vec{v}_1| [f(\vec{v}') f_M(\vec{v}'_1) - f(\vec{v}) f_M(\vec{v}_1)] d\vec{v}_1 d\sigma, \quad (1)$$

где $f(\vec{r}, \vec{v}, t)$ - ФР газа, $f_M(\vec{v}, t)$ - максвелловская ФР плазмы, σ - сечение рассеяния, \vec{v} - скорость газа до столкновения, \vec{v}_1 - скорость плазмы (иона или электрона) до столкновения, \vec{v}' - скорость газа после столкновения, \vec{v}'_1 - скорость плазмы после столкновения.

Из закона сохранения импульса и энергии, скорости частиц после столкновения можно записать в следующем виде:

$$\vec{v}' = \frac{m_1}{m + m_1} |\vec{v} - \vec{v}_1| \vec{n}_0 + \frac{m\vec{v} + m_1\vec{v}_1}{m + m_1}, \quad (2)$$

$$\vec{v}'_1 = -\frac{m}{m + m_1} |\vec{v} - \vec{v}_1| \vec{n}_0 + \frac{m\vec{v} + m_1\vec{v}_1}{m + m_1}, \quad (3)$$

где \vec{n}_0 - единичный вектор в направлении скорости частицы с массой m после столкновения в системе центра инерции.

С учётом (2) и новых обозначений $\vec{u}_0 = \vec{v} - \vec{v}_1$, $\alpha = \frac{m_1}{m+m_1}$, $\beta = \frac{m}{m+m_1}$, преобразуем интеграл столкновений:

$$St(f) = \int u_0 [f(\alpha u_0 \vec{n}_0 - \alpha \vec{u}_0 + \vec{v}) f_M(-\beta u_0 \vec{n}_0 - \alpha \vec{u}_0 + \vec{v}) - f(\vec{v}) f_M(\vec{v}_1)] d^3 u_0 d\sigma. \quad (4)$$

Поскольку температура плазмы много больше температуры газа, то при интегрировании $f(\vec{v}')$ можно заменить на $n \cdot \delta(\vec{v}')$, поскольку $f(\vec{v}') \approx 0$ при $v' \gg \langle v' \rangle$, то есть $f(\vec{v}')$ "близка" к δ -функции в смысле интегрирования по скоростям столкновения. Получим из (4)

$$St(f) = \int u_0 [n \cdot \delta(\alpha u_0 \vec{n}_0 - \alpha \vec{u}_0 + \vec{v}) f_M(-\beta u_0 \vec{n}_0 - \alpha \vec{u}_0 + \vec{v}) - f(\vec{v}) f_M(\vec{v}_1)] d\sigma d^3 u_0. \quad (5)$$

Для того, чтобы упростить $St(f)$, нужно знать $\frac{d\sigma}{d\Omega}(u_0, \chi)$ как функцию угла рассеяния χ и энергии сталкивающихся частиц или их относительной скорости u_0 .

Рассмотрим отдельно источник в $St(f)$:

$$q_{\text{ист}} = \int u_0 n \delta^{(3)}(\alpha u_0 \vec{n}_0 - \alpha \vec{u}_0 + \vec{v}) f_M(-\beta u_0 \vec{n}_0 - \alpha \vec{u}_0 + \vec{v}) \frac{d\sigma}{d\Omega}(u_0, \vec{n}_0) d\Omega d^3 u_0. \quad (6)$$

Сначала проинтегрируем по углам рассеяния Ω . Для этого рассмотрим интеграл (7). Из определения и свойств δ -функции следует, что

$$\int \delta^{(3)}(\alpha \vec{r} - \vec{a}) f(-\beta \vec{r} - \vec{a}) d^3 r = \frac{1}{\alpha^3} f\left(-\vec{a} \left(1 + \frac{\beta}{\alpha}\right)\right) = \frac{1}{\alpha^3} f\left(-\frac{\vec{a}}{\alpha}\right). \quad (7)$$

С другой стороны можно записать

$$\int \delta^{(3)}(\alpha \vec{r} - \vec{a}) f(-\beta \vec{r} - \vec{a}) d^3 r = \int_0^\infty r^2 \int \delta^{(3)}(\alpha \vec{r} - \vec{a}) f(-\beta \vec{r} - \vec{a}) d\Omega dr. \quad (8)$$

Сравнивая интегралы (7) и (8) можно вычислить следующий интеграл

$$\int \delta^{(3)}(\alpha \vec{r} - \vec{a}) f(-\beta \vec{r} - \vec{a}) d\Omega = \frac{1}{\alpha^2 r^2} \delta^{(1)}(\alpha r - a) f\left(-r \beta \frac{\vec{a}}{a} - \vec{a}\right). \quad (9)$$

Видно, что при подстановке интеграла (9) в (8) ответ получается такой же, как и в (7). С учётом формулы (9) проинтегрируем (6) по Ω и получим:

$$q_{\text{ист}} = \int \frac{n}{\alpha^2 u_0} \delta^{(1)}(\alpha u_0 - |\alpha \vec{u}_0 - \vec{v}|) f_M(-\beta u_0 \vec{n}_0^* - \alpha \vec{u}_0 + \vec{v}) \frac{d\sigma}{d\Omega}(u_0, \vec{n}_0^*) d^3 u_0, \quad (10)$$

$$\vec{n}_0^* = \frac{\alpha \vec{u}_0 - \vec{v}}{|\alpha \vec{u}_0 - \vec{v}|}.$$

Теперь проинтегрируем (10) по u_0 . Для этого перейдём в сферические координаты с полярным углом θ , отсчитываемым от вектора \vec{v} . Рассмотрим, как преобразуется δ -функция в этой системе координат. Для этого воспользуемся общеизвестной формулой $\delta(f(x)) = \sum_k \frac{\delta(x-x_k)}{|f'(x_k)|}$, где x_k - простые нули функции f .

$$\delta^{(1)}(\alpha u_0 - |\alpha \vec{u}_0 - \vec{v}|) = \begin{cases} \frac{1}{2\alpha \cos^2 \theta} \cdot \delta^{(1)}\left(u_0 - \frac{v}{2\alpha \cos \theta}\right), & \text{если } \cos \theta > 0, \\ 0, & \text{иначе.} \end{cases} \quad (11)$$

С учётом этого, (10) запишется

$$q_{\text{ист}} = \frac{n\pi}{\alpha^3} \int_0^\infty \int_0^1 f_M (|\alpha\vec{u}_0 - \vec{v}| + u_0\beta) \frac{d\sigma}{d\Omega}(u_0, \vec{n}_0^*) \delta\left(u_0 - \frac{v}{2\alpha \cos \theta}\right) \frac{d \cos \theta}{\cos^2 \theta} u_0 du_0. \quad (12)$$

Проинтегрируем (12) по u_0

$$q_{\text{ист}} = \frac{\pi}{2\alpha^4} n v \int_0^1 f_M \left(\frac{v}{2\alpha \cos \theta} \right) \frac{d\sigma}{d\Omega} \left(\frac{v}{2\alpha \cos \theta}, \vec{n}_0^* \right) \frac{d \cos \theta}{\cos^3 \theta}. \quad (13)$$

Формула (13) представляет собой общий вид первого члена в $St(f)$ для произвольного сечения $\frac{d\sigma}{d\Omega}(u_0, \vec{n}_0)$. Сток в $St(f)$ не упрощается для произвольного сечения. Однако можно выписать общий вид кинетического уравнения:

$$\frac{\partial f(\vec{v}, \vec{x}, t)}{\partial t} + v_k \frac{\partial f(\vec{v}, \vec{x}, t)}{\partial x_k} = p(v) \int f(\vec{v}, \vec{x}, t) d^3 v - \nu(v) f(\vec{v}, \vec{x}, t). \quad (14)$$

Следует отметить, что данный вид интеграла столкновения является только следствием подстановки δ -функции в $St(f)$, а конкретный вид функций $p(v)$ и $\nu(v)$ зависит от того, как устроено сечение рассеяния холодного газа на плазме.

4.1. Модель однократных столкновений с плоской границей в пространстве скоростей

Прежде чем перейти к решению кинетического уравнения, учтём особенности геометрии задачи в пространстве скоростей. Направление \hat{v}_z будет соответствовать движению вдоль плазмы. Направление \hat{v}_θ перпендикулярно \hat{v}_z и радиальному направлению \hat{v}_r , эти три направления образуют в каждой точке цилиндра локальную декартову систему координат в пространстве скоростей (рис. 5). В координатном пространстве естественно работать в цилиндрической системе координат. Очевидно, что f не зависит от φ и z из-за цилиндрической симметрии.

Примем следующую модель:

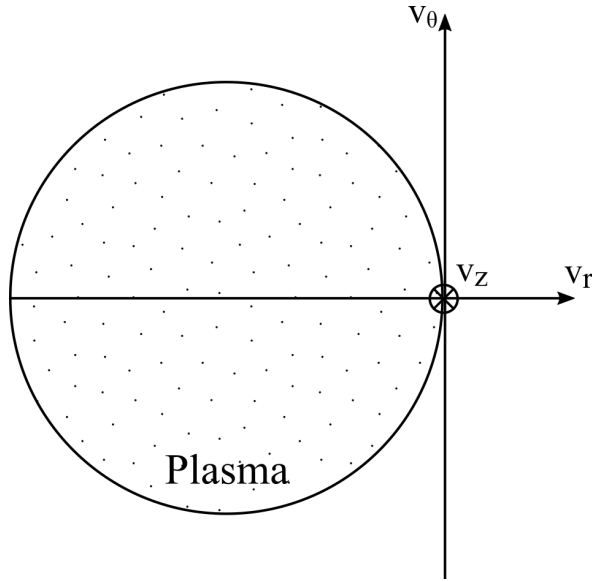


Рис. 5. Особенности системы координат.

1. Столкновениями газа с газом в плазме пренебрежём.
2. Будем считать, что ν из $q_{\text{сток}}$ не зависит от скорости, поскольку ФР газа f - функция с малым носителем в пространстве скоростей.
3. Плоская граница $v_r = v_\varepsilon$, разделяющая $q_{\text{ист}}$ и $q_{\text{сток}}$. Газ проникнувший в плазму исчезает из фазового пространства в области $|v_r| < v_\varepsilon$. Этот процесс будет описывать сток из интеграла столкновения $q_{\text{сток}} = -\nu f$. Появление частиц с $|v_r| > v_\varepsilon$ будет описывать источник $q_{\text{ист}} = p(v) \int_{|v_r| < v_\varepsilon} f d^3v$.

Последнее условие означает, что столкновения газа и плазмы однократные, то есть при столкновении частица из области $|v_r| < v_\varepsilon$ попадает в область $|v_r| > v_\varepsilon$ и больше не сталкивается. Формально нужно было разделить источник и сток сферической границей $v = v_\varepsilon$, поскольку использование упрощённого источника $q_{\text{ист}}$ в интеграле столкновений (14) предполагает большую передачу импульса газу. Это означает, что

$$|\vec{v} - \alpha u_0 \vec{n}_0 + \alpha \vec{u}_0 - \vec{v}| > v_\varepsilon, \quad (15)$$

где v_ε - минимальное изменение скорости газа в результате столкновения с плазмой. v_ε порядка нескольких тепловых скоростей газа. С учётом δ -функции в уравнении (5), условие (15) преобразуется в $v > v_\varepsilon$. Однако в таком случае невозможно построить правдоподобную модель однократных столкновений, поскольку частицы с малым v_r и большими v_z и v_θ ,

так что-бы при этом выполнялось условие $v > v_\varepsilon$, не будут сталкиваться. Это приведёт к особенности у ФР при $v_r = +0$. ФР ведёт себя как $\frac{1}{v_r}$.

Можно было строить модель многократных столкновений и вывести частицы с малым v_r и большими v_θ, v_z дополнительными слагаемыми в $St(f)$. Но мы будем использовать менее обоснованную, но более простую модель с плоской границей, в которой однократные столкновения не приводят к сингулярности у ФР.

В принятой модели так же легко выразить ν через $p(v)$, пользуясь сохранением числа частиц:

$$\int_{|v_r| > v_\varepsilon} St(f) d^3v = \int_{|v_r| > v_\varepsilon} p(v) d^3v n_c(r) - \nu n_c(r) \equiv 0. \quad (16)$$

Следовательно:

$$\boxed{\nu = \int_{|v_r| > v_\varepsilon} p(v) d^3v.} \quad (17)$$

Перейдём к решению стационарного кинетического уравнения в рамках принятой модели:

$$v_r \frac{\partial f}{\partial r} = \theta(|v_r| - v_\varepsilon) p(v) \int_{|v_r| < v_\varepsilon} f d^3v - \theta(v_\varepsilon - |v_r|) \nu f. \quad (18)$$

Граничные условия:

$$\begin{aligned} f(r = a, v_r < 0) &= f_0, \\ f(r = 0, -\vec{v}) &= f(r = 0, \vec{v}). \end{aligned} \quad (19)$$

Решение уравнения (18) с граничными условиями (19):

$$f = \begin{cases} f_0 e^{-\frac{vr}{v_r} - \frac{va}{|v_r|}}, & \text{если } |v_r| < v_\varepsilon, \\ f_0 + \frac{p}{|v_r|} \int_0^a n_c(r') dr' + \frac{p}{v_r} \int_0^r n_c(r') dr', & \text{если } |v_r| > v_\varepsilon. \end{cases} \quad (20)$$

В уравнении (20) введено обозначение $n_c(r) = \int_{|v_r| < v_\varepsilon} f d^3v$.

4.2. Модель упругих шаров

Получим явное выражение $St(f)$ для упругих шаров. Известно, что в этом случае дифференциальное сечение постоянно $\frac{d\sigma}{d\Omega} = \text{const}$. Это позволит вычислить интеграл (13) и получить явное выражение для источника:

$$q_{\text{ист}} = -\frac{d\sigma}{d\Omega} \cdot \frac{n_1 n}{2\alpha\sqrt{\pi}v_{1T}^3} \cdot \frac{\alpha v_{1T}}{u} \int_{u^2}^{\infty} e^{-y^2} dy^2 = \frac{Qn}{u} e^{-u^2}, \quad (21)$$

В (21) введены обозначения:

$$Q = \frac{d\sigma}{d\Omega} \cdot \frac{n_1}{2\alpha^3\sqrt{\pi}v_{1T}^2}, \quad v_{1T} \equiv \sqrt{\frac{2T_1}{m_1}}, \quad u = \frac{v}{2\alpha v_{1T}}, \quad y = \frac{u}{\cos\theta}. \quad (22)$$

Вычислим ν в рамках модели упругих шаров:

$$\begin{aligned} \nu &= (2\alpha v_{1T})^3 Q \pi^{3/2} \int_{|u_r| > u_\varepsilon} \text{erfc}(|u_r|) du_r = \\ &= 2\pi^{3/2} Q (2\alpha v_{1T})^3 \left(\frac{e^{-u_\varepsilon^2}}{\sqrt{\pi}} - u_\varepsilon \text{erfc}(u_\varepsilon) \right). \end{aligned} \quad (23)$$

При написании программы удобно задавать параметр $\gamma = \frac{va}{v_{T_0}}$ и выражать Q через γ (24).

$$aQ = \frac{\gamma v_{T_0}}{2\pi^{3/2} (2\alpha v_{1T})^3} \frac{1}{\left[\frac{e^{-u_\varepsilon^2}}{\sqrt{\pi}} - u_\varepsilon \text{erfc}(u_\varepsilon) \right]}. \quad (24)$$

4.3. Проверка сохранения числа частиц в модели с плоской границей для упругих шаров

Убедимся что уравнение (18) сохраняет число частиц. Для этого посчитаем плотность потока частиц, влетающих в плазму:

$$j_{in} = \frac{n_0}{\pi^{3/2} v_{T_0}^3} \int_{v_r < 0} \exp\left(-\frac{v^2}{v_{T_0}^2}\right) v_r d^3v = -\frac{n_0 v_T}{2\sqrt{\pi}}. \quad (25)$$

Будем обозначать далее $\tilde{u} = v/v_{T_0}$. Плотность потока частиц, вылетающих из плазмы:

$$j_{out} = \frac{n_0 v_{T_0}}{\sqrt{\pi}} \int_0^{\tilde{u}_\varepsilon} \exp\left(-\tilde{u}_r^2 - \frac{2\gamma}{\tilde{u}_r}\right) \tilde{u}_r d\tilde{u}_r + \frac{n_0 v_T}{2\sqrt{\pi}} e^{-\tilde{u}_\varepsilon^2} + 2\nu \int_0^a n_c(r') dr' \quad (26)$$

Покажем, что эти потоки по модулю равны:

$$\frac{j_{out}}{|j_{in}|} = 2 \int_0^{\tilde{u}_\varepsilon} \exp\left(-\tilde{u}_r^2 - \frac{2\gamma}{\tilde{u}_r}\right) \tilde{u}_r d\tilde{u}_r + e^{-\tilde{u}_\varepsilon^2} + \frac{2\sqrt{\pi}\gamma}{n_0} \int_0^1 n_c(y') dy', \quad (27)$$

и действительно, поскольку:

$$\begin{aligned} \frac{2\sqrt{\pi}\gamma}{n_0} \int_0^1 n_c(y') dy' &= 2\gamma \int_0^1 \exp\left(-\frac{\gamma y'}{\tilde{u}_r}\right) dy' \int_{-\tilde{u}_\varepsilon}^{\tilde{u}_\varepsilon} \exp\left(-\tilde{u}_r^2 - \frac{\gamma}{|\tilde{u}_r|}\right) d\tilde{u}_r = \\ &= 2 \int_{-\tilde{u}_\varepsilon}^{\tilde{u}_\varepsilon} \tilde{u}_r \left[1 - e^{-\frac{\gamma}{\tilde{u}_r}}\right] \exp\left(-\tilde{u}_r^2 - \frac{\gamma}{|\tilde{u}_r|}\right) d\tilde{u}_r = \\ &= 2 \int_0^{\tilde{u}_\varepsilon} \exp\left(-\tilde{u}_r^2 - \frac{2\gamma}{\tilde{u}_r}\right) \tilde{u}_r d\tilde{u}_r + 1 - e^{-\tilde{u}_\varepsilon^2}. \end{aligned} \quad (28)$$

Если подставит (28) в выражение (27), то мы получим:

$$\frac{j_{out}}{|j_{in}|} = 1. \quad (29)$$

4.4. Результаты в модели упругих шаров

Радиальный профиль концентрации вычисляется из (20) как $\int f d^3v$:

$$n(r) = n_c(r) + n_0 \operatorname{erfc}(\tilde{u}_\varepsilon) + 2Q\pi^{3/2} \int_0^a n_c(r') dr' \int_{u_\varepsilon}^{\infty} \frac{\operatorname{erfc}(u_r)}{u_r} du_r \quad (30)$$

Выражение для $n_c(r)$ также можно получить из (20):

$$n_c(r) = \int_{|v_r| < v_\varepsilon} f_0 e^{-\frac{vr}{v_r} - \frac{va}{|v_r|}} d^3v = \frac{2n_0}{\sqrt{\pi}} \int_0^{\tilde{u}_\varepsilon} \exp\left(-\tilde{u}_r^2 - \frac{\gamma}{\tilde{u}_r}\right) \operatorname{ch}\left(\frac{\gamma y}{\tilde{u}_r}\right) d\tilde{u}_r, \quad (31)$$

где $\gamma \equiv \frac{va}{vT_0}$ и $y = r/a$. На рис. 6 приведены результаты вычислений $n(r)$.

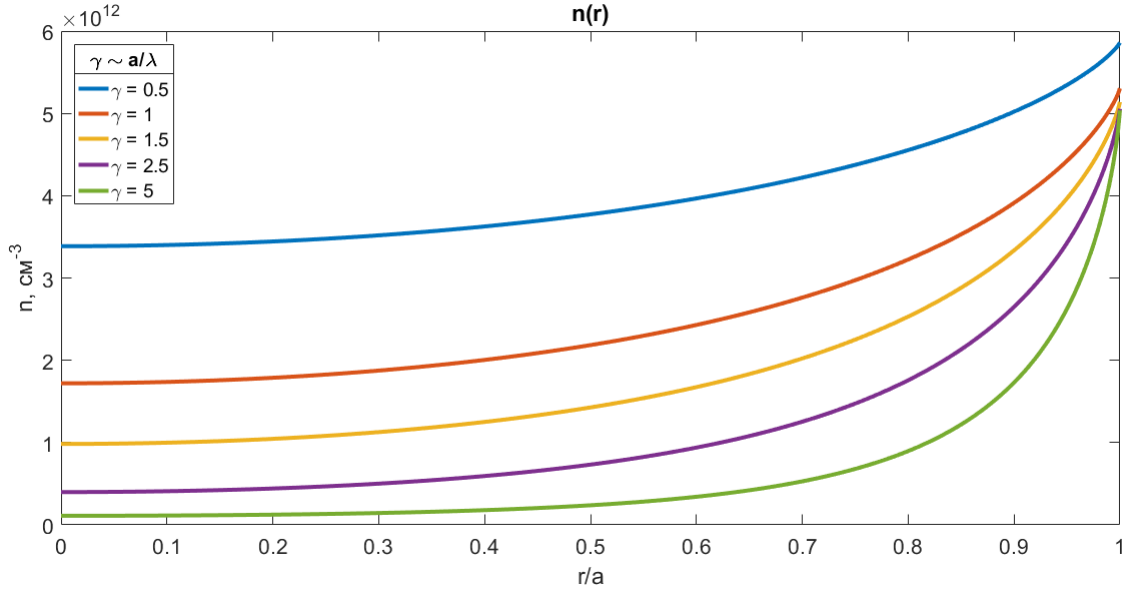


Рис. 6. Радиальный профиль концентрации газа для разных значений параметра γ . Вычисления сделаны при $T_1 = 100\text{эВ}$, $\frac{v_{T_0}}{v_{1T}} = 0.01$, $n_0 = 10^{13} \text{ см}^{-3}$ и $\tilde{u}_\varepsilon = 1.9$.

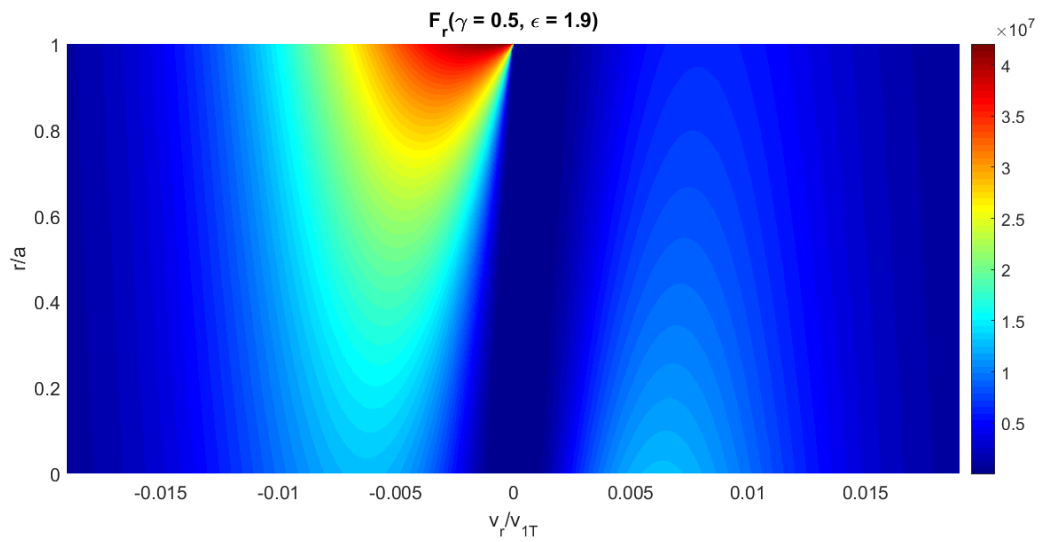
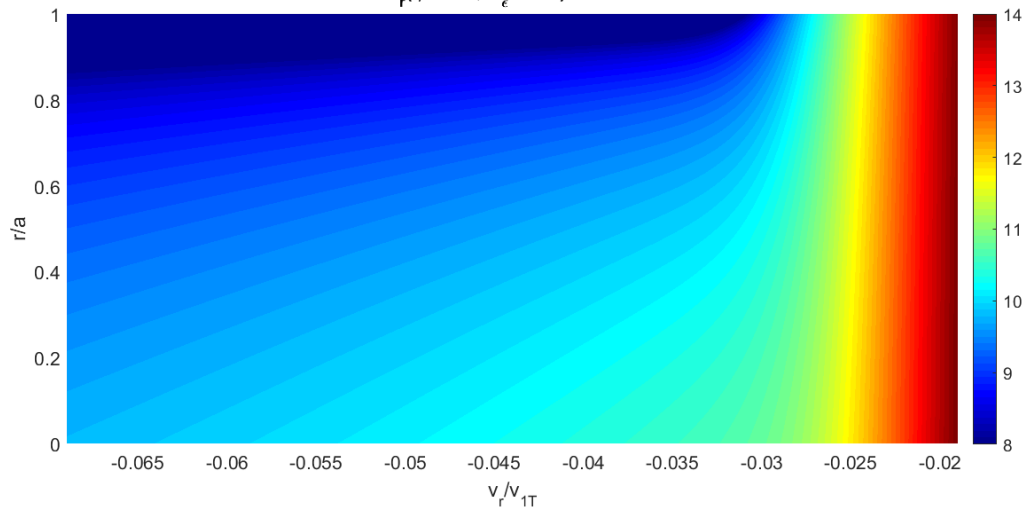
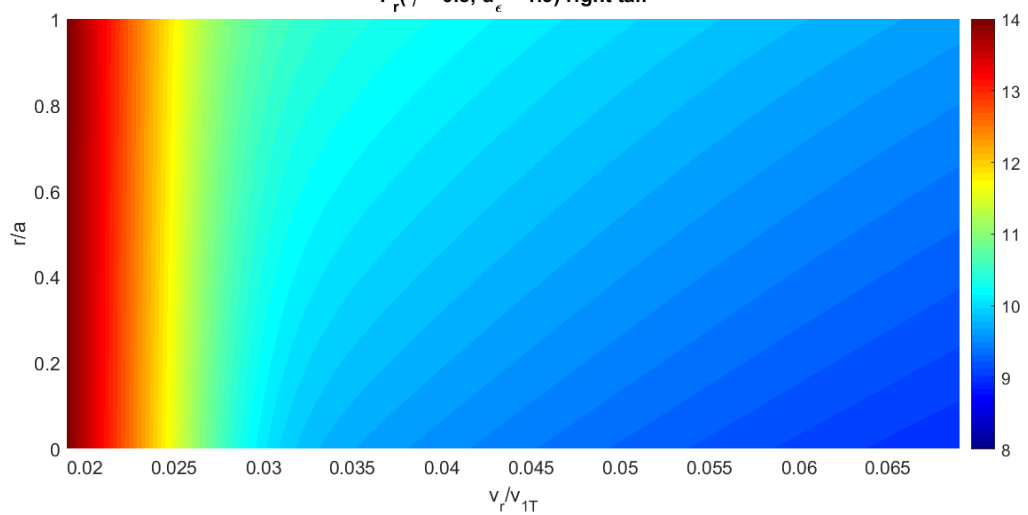
Здесь и далее $\tilde{u}_\varepsilon = 1.9$ выбрана так, чтобы хвосты ФР и ФР при $|v_r| < v_\varepsilon$ на границе $|v_r| = v_\varepsilon$ были одного порядка.

$$F_r(v_r, r) = \int f dv_\theta dv_z = \begin{cases} \frac{n_0}{\sqrt{\pi} v_{T_0}} e^{-\tilde{u}_r^2 - \frac{\gamma y}{\tilde{u}_r} - \frac{\gamma}{|\tilde{u}_r|}}, & \text{при } |v_r| < v_\varepsilon, \\ \frac{n_0}{\sqrt{\pi} v_{T_0}} e^{-\tilde{u}_r^2} + N(u_r, r) Q \pi^{3/2} (2\alpha v_{1T}) \operatorname{erfc}(|u_r|), & \text{при } |v_r| > v_\varepsilon. \end{cases} \quad (32)$$

В выражении (32) введено обозначение:

$$N(u_r, r) = \left[\frac{1}{|u_r|} \int_0^a n_c(r') dr' + \frac{1}{u_r} \int_0^r n_c(r') dr' \right], \quad (33)$$

где $u = v/(2\alpha v_{1T})$ и $\tilde{u} = v/v_{T_0}$. На рис. 7а приведён график F_r при $|v_r| < v_\varepsilon$. На рис. 7b и рис. 7c приведены хвосты F_r .

(a) $F_r(|v_r| < v_\epsilon, r)$ $F_r(\gamma = 0.5, u_\epsilon = 1.9)$ left tail(b) $\ln(F_r(v_r < -v_\epsilon, r))$ $F_r(\gamma = 0.5, u_\epsilon = 1.9)$ right tail(c) $\ln(F_r(v_r > v_\epsilon, r))$ Рис. 7. $\gamma = 0.5$, $T_i = 100$ эВ, $\frac{v_{T0}}{v_{1T}} = 0.01$, $n_0 = 10^{13}$ см⁻³.

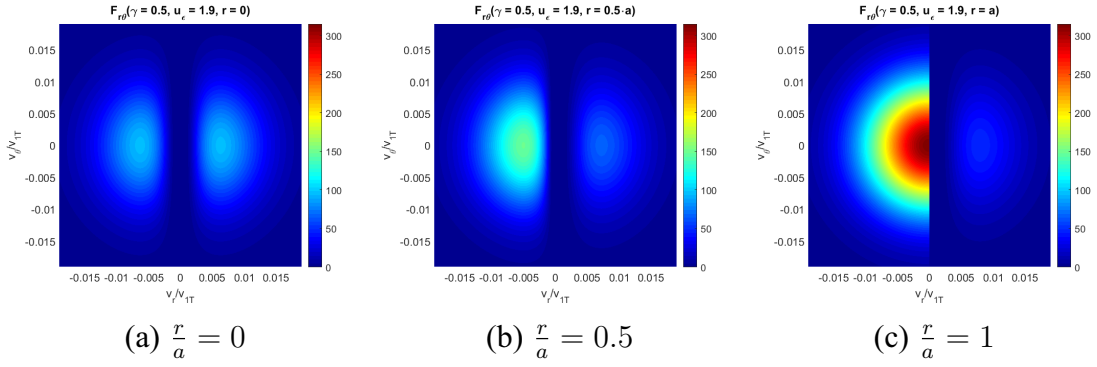


Рис. 8. $F_{r\theta}(v_r, v_\theta, r)$, $\gamma = 0.5$, $T_i = 100$ эВ, $n_0 = 10^{13}$ см $^{-3}$, $\frac{v_{T0}}{v_{1T}} = 0.01$.

$$\begin{aligned}
 F_{r\theta}(v_r, v_\theta, r) &= \int f dv_z = \\
 &= \begin{cases} \frac{n_0}{\pi v_{T0}^2} \exp\left(-\tilde{u}_\theta^2 - \tilde{u}_r^2 - \frac{\gamma y}{\tilde{u}_r} - \frac{\gamma}{|\tilde{u}_r|}\right), & \text{при } |v_r| < v_\varepsilon, \\ \frac{n_0}{\pi v_{T0}^2} e^{-\tilde{u}_\theta^2 - \tilde{u}_r^2} + Q \exp\left(-\frac{u_\theta^2 + u_r^2}{2}\right) K_0\left(\frac{u_\theta^2 + u_r^2}{2}\right) N(u_r, r), & \text{при } |v_r| > v_\varepsilon \end{cases}
 \end{aligned} \tag{34}$$

На рис. 8 представлена $F_{r\theta}$ на трёх разных расстояниях от оси.

Пользуясь функцией распределения, вычислим, какую энергию и импульс переносит газ, то есть посчитаем радиальные компоненты тензора плотности потока импульса $\Pi_{rr} = \int m v_r^2 f(\vec{v}, r) d^3 v$ (не трудно понять, что $\Pi_{rz} = \Pi_{r\theta} = 0$) и радиальную компоненту плотности потока энергии $q_r = \int \frac{m v^2}{2} v_r f(\vec{v}, r) d^3 v$. Если разделить q_r и Π_{rr} на плотность потока частиц, влетающих в плазму $j_0 = \int_{v_r < 0} f_M v_r d^3 v = n_0 v_T / (2\sqrt{\pi})$, мы получим импульс и энергию, приходящуюся на одну частицу.

$$\begin{aligned}
 \frac{\Pi_{rr}(a; \gamma)}{m} &= \frac{n_0 v_{T0}^2}{\sqrt{\pi}} \left[I_\gamma + \frac{1}{4} \left(3\sqrt{\pi} \operatorname{erf}(\tilde{u}_\varepsilon) + 2\tilde{u}_\varepsilon e^{-\tilde{u}_\varepsilon^2} \right) \right] + Q \pi^{3/2} (2\alpha v_{1T})^4 I_n, \\
 I_\gamma &= \int_0^{\tilde{u}_\varepsilon} \tilde{u}_r^2 \exp\left(-\tilde{u}_r^2 - \frac{2\gamma}{\tilde{u}_r}\right) d\tilde{u}_r; \\
 I_n &= \int_0^a n_c(r') dr' \left[\left(\frac{1}{2} - u_\varepsilon^2 \right) \operatorname{erfc}(u_\varepsilon) + \frac{e^{-u_\varepsilon^2} u_\varepsilon}{\sqrt{\pi}} \right].
 \end{aligned} \tag{35}$$

$$\begin{aligned} \frac{2q_r(a; \gamma)}{m} &= \frac{n_0 v_{T_0}^3}{\sqrt{\pi}} \left[\int_0^{\tilde{u}_\varepsilon} \tilde{u}_r (1 + \tilde{u}_r^2) \exp\left(-\tilde{u}_r^2 - \frac{2\gamma}{\tilde{u}_r}\right) d\tilde{u}_r + \frac{1}{2}(2 + \tilde{u}_\varepsilon^2)e^{-\tilde{u}_\varepsilon^2} - 1 \right] \\ &+ Q\pi^{3/2}(2\alpha v_{1T})^5 \int_0^a n_c(r') dr' \left(\frac{2}{\sqrt{\pi}} e^{-u_\varepsilon^2} - u_\varepsilon \operatorname{erfc}(u_\varepsilon) \right). \end{aligned} \quad (36)$$

Вычислим асимптотики потоков в двух предельных случаях: когда $\gamma \ll 1$ и $\gamma \gg 1$. Случай малой столкновительности ($\gamma \ll 1$):

$$\begin{aligned} \frac{2q_r(a; \gamma)}{m} &\simeq \gamma n_0 v_{T_0}^3 \left(\frac{3}{2} \operatorname{erf}(\tilde{u}_\varepsilon) - \frac{\tilde{u}_\varepsilon}{\sqrt{\pi}} e^{-\tilde{u}_\varepsilon^2} \right) + \\ &+ aQ\pi^{3/2}(2\alpha v_{1T})^5 n_0 \operatorname{erf}(\tilde{u}_\varepsilon) \left(\frac{2}{\sqrt{\pi}} e^{-u_\varepsilon^2} - u_\varepsilon \operatorname{erfc}(u_\varepsilon) \right), \text{ при } \gamma \ll 1. \end{aligned} \quad (37)$$

Это значит, что $q_r(a; \gamma) \propto \gamma$ при $\gamma \ll 1$, поскольку $Q \propto \gamma$. В случае большой столкновительности ($\gamma \gg 1$):

$$\begin{aligned} \frac{2q_r(a; \gamma)}{m} &\simeq \frac{n_0 v_{T_0}^3}{\sqrt{\pi}} \left[\left(1 + \frac{\tilde{u}_\varepsilon^2}{2}\right) e^{-\tilde{u}_\varepsilon^2} - 1 \right] + \\ &+ \frac{\pi aQ}{2\gamma} (2\alpha v_{1T})^5 n_0 \left(1 - e^{-\tilde{u}_\varepsilon^2}\right) \left(\frac{2}{\sqrt{\pi}} e^{-u_\varepsilon^2} - u_\varepsilon \operatorname{erfc}(u_\varepsilon) \right), \text{ при } \gamma \gg 1. \end{aligned} \quad (38)$$

Это значит, что $q_r(a)$ не зависит от γ при $\gamma \gg 1$. На рис. 12b приведена зависимость $q_r(a; \gamma)$, нормированная на плотность потока массы газа из плазмы $m j_0$.

Аналогично для плотности потока импульса:

$$\begin{aligned} \frac{\Pi_{rr}(a; \gamma)}{m} &\simeq \frac{n_0 v_{T_0}^2}{2} - \frac{n_0 v_{T_0}^2}{\sqrt{\pi}} \gamma \left(1 - e^{-\tilde{u}_\varepsilon^2}\right) + aQ\pi^{3/2}(2\alpha v_{1T})^4 n_0 \operatorname{erf}(\tilde{u}_\varepsilon) \cdot \\ &\left[\left(\frac{1}{2} - u_\varepsilon^2\right) \operatorname{erfc}(u_\varepsilon) + \frac{e^{-u_\varepsilon^2} u_\varepsilon}{\sqrt{\pi}} \right], \text{ при } \gamma \ll 1. \end{aligned} \quad (39)$$

Из асимптотики (39) видно, что в бесстолкновительном пределе $\gamma \equiv 0$

получается правильная асимптотика ($P = n_0 T_0$).

$$\begin{aligned} \frac{\Pi_{rr}(a; \gamma)}{m} \simeq & \frac{n_0 v_{T_0}^2}{4} + \frac{n_0 v_{T_0}^2}{\sqrt{\pi}} \left(\frac{\tilde{u}_\varepsilon}{2} e^{-\tilde{u}_\varepsilon^2} + \frac{\sqrt{\pi}}{4} \operatorname{erfc}(\tilde{u}_\varepsilon) \right) + \frac{aQ}{\gamma} \frac{\pi}{2} (2\alpha v_{1T})^4 n_0 \cdot \\ & \cdot \left(1 - e^{-\tilde{u}_\varepsilon^2} \right) \left[\left(\frac{1}{2} - u_\varepsilon^2 \right) \operatorname{erfc}(u_\varepsilon) + \frac{e^{-u_\varepsilon^2} u_\varepsilon}{\sqrt{\pi}} \right], \text{ при } \gamma \gg 1. \end{aligned} \quad (40)$$

В противоположном пределе получаем такой же результат, как и для потока тепла, то есть $\Pi_{rr}(a)$ не зависит от γ . На рис. 12а приведена зависимость $\Pi_{rr}(a; \gamma)$, нормированная на плотность потока массы газа из плазмы $m j_0$.

4.5. Модель с реальным сечением

Модель упругих шаров позволяет получить относительно простые качественные результаты, однако реальное сечение сильно зависит от угла рассеяния (рис. 9). Данное сечение взято из источника [2]. На рис. 9

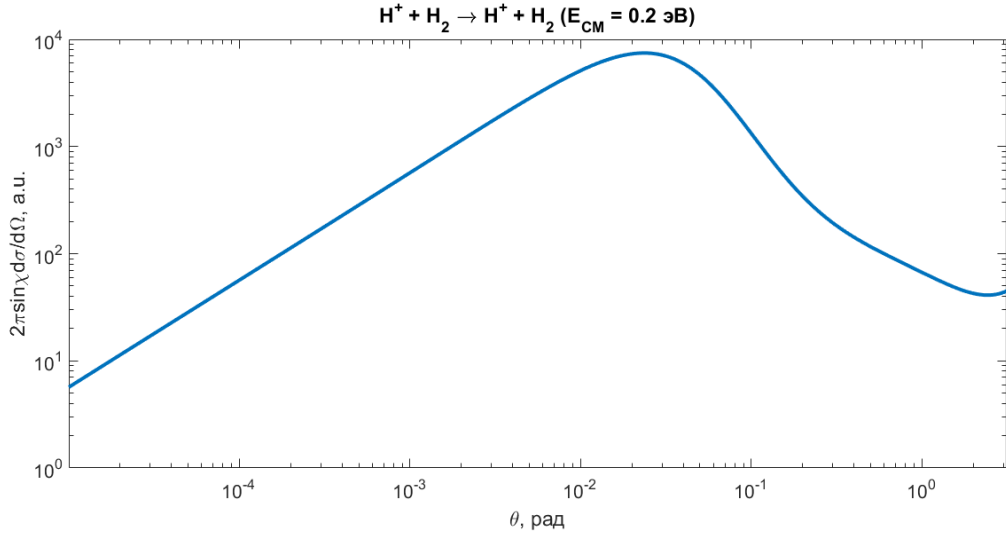
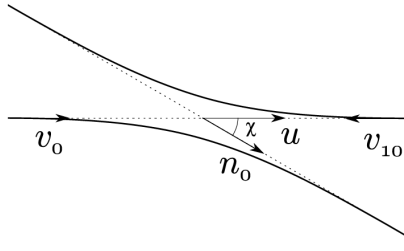


Рис. 9. Сечение рассеяния иона водорода на молекуле с энергией в системе центра инерции $E_{CM} = 0.2$ эВ

представленна аппроксимация экспериментальных данных по формуле:

$$2\pi \sin \chi \frac{d\sigma}{d\Omega} = a_B^2 \left[A + B(1 - \cos \chi) + C \sin^2 \chi \right] \exp \left(\frac{\sum_{i=0} a_i (\ln \chi)^i}{1 + \sum_{j=1} b_j (\ln \chi)^j} \right), \quad (41)$$



здесь χ - угол рассеяния в системе центра инерции, коэффициенты A, B, C, a_i, b_j зависят от энергии сталкивающихся частиц в системе центра инерции E_{CM} , a_B - борковский радиус.

Рис. 10. Рассеяние в системе центра инерции

образуем его для реального сечения.

Вернёмся к общему выражению источника в интеграле столкновения (13) и пре-

$$n_{0z} \equiv \cos \chi = \frac{\alpha u_0 - v_z}{|\alpha \vec{u}_0 - \vec{v}|}, \quad (42)$$

здесь \vec{n}_0 - единичный вектор в направлении рассеяния молекулы после столкновения в системе центра инерции.

С учётом рис. 10 и δ - функции в источнике не трудно преобразовать (42) и получить:

$$\cos \chi = \frac{\frac{1}{\cos \theta} - 2 \cos \theta}{\sqrt{2 + \frac{1}{\cos^2 \theta}}}, \quad (43)$$

здесь θ - угол между \vec{u}_0 и \vec{v} . Связь между углами θ и χ позволяет получить функцию $p(v)$ из интеграла столкновения (14):

$$p(v) = \frac{\pi v}{2\alpha^4} \int_0^1 f_M \left(\frac{v}{2\alpha \cos \theta} \right) \frac{d\sigma}{d\Omega}(\chi) \frac{d \cos \theta}{\cos^3 \theta}. \quad (44)$$

При вычислении $p(v)$ пренебрежём зависимостью сечения от энергии, поскольку в диапазоне энергий $E_{CM} = 0.1 \div 100$ эВ коэффициенты A, B, C, a_i, b_j изменяются в пределах 10%. Будем по-прежнему придерживаться модели с плоской границей. Условие сохранения числа частиц в этом случае имеет вид:

$$\nu = 2\pi \int_{|v_r| > v_\varepsilon} \int_0^\infty p(v) v_\rho dv_\rho dv_r = 2\pi \int_{|v_r| > v_\varepsilon} \int_{|v_r|}^\infty p(v) v dv dv_r. \quad (45)$$

Пользуясь реальным сечением, мы можем характеризовать функцию распределения вылетающего газа концентрацией, температурой и радиусом плазмы, а не параметром γ , как это было сделано в модели упругих шаров.

$$\gamma \equiv \frac{\nu a}{v_{T_0}} = \frac{n_1 v_{1T} a}{v_{T_0}} \sigma_{eff}(\tilde{u}_\varepsilon). \quad (46)$$

Пользуясь формулой (45), можно вычислить $\sigma_{eff}(\tilde{u}_\varepsilon)$. Для $\tilde{u}_\varepsilon = 1.9$ и $\frac{v_{T_0}}{v_{1T}} = 0.01$ получается следующий результат: $\sigma_{eff} = (12.04 \cdot a_B)^2$. В итоге выражение для γ примет следующий вид:

$$\gamma = \frac{n_1 v_{1T} a}{v_{T_0}} (12.04 \cdot a_B)^2. \quad (47)$$

4.6. Результаты для упругого рассеяния протона на молекуле водорода

С помощью формулы (44) можно численно получить $p(v)$, следовательно, имеем ФР в соответствии с (20). Приведём результаты численных вычислений $F_r(v_r > v_\varepsilon, r)$, $q_r(a; \gamma)$ и $\Pi_{rr}(a, \gamma)$ для сравнения моделей. На рис. 11 изображен хвост $F_r(v_r > v_\varepsilon, r)$ для упругого столкновения H^+ и H_2 . Результаты для плотности потока тепла и импульса для упругих

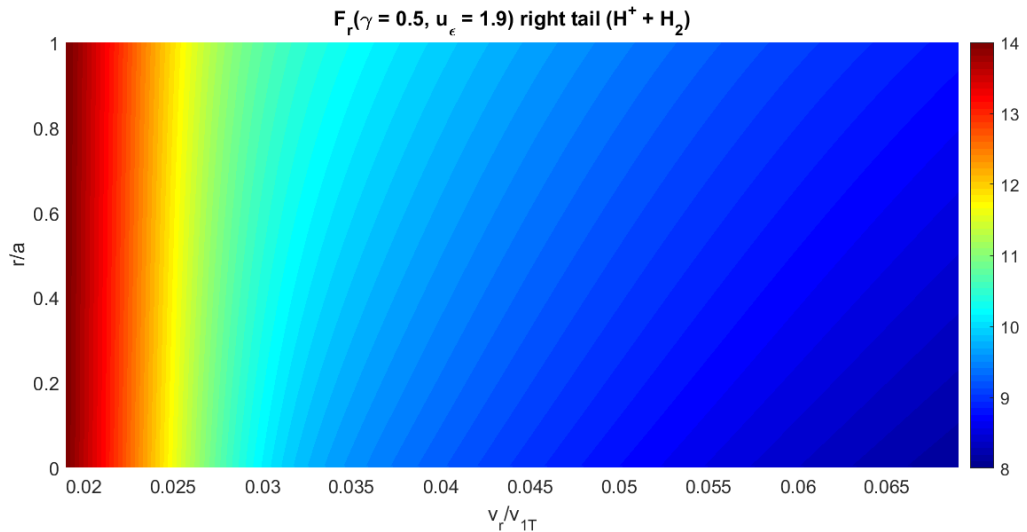


Рис. 11. $\ln(F_r(v_r > v_\varepsilon, r))$. $\gamma = 0.5$, $T_i = 100$ эВ, $\frac{v_{T_0}}{v_{1T}} = 0.01$ и $n_0 = 10^{13}$ см $^{-3}$.

столкновений H^+ и H_2 и для упругих шаров (рис. 12).

5. Задача вне плазмы

Если характерная концентрация нейтралов в расширителе достаточно велика, для ГДЛ $n \sim 10^{13} \text{ см}^{-3}$, то длина свободного пробега газа мала по сравнению с размерами расширителя. В этом приближении можно пользоваться уравнениями газовой динамики.

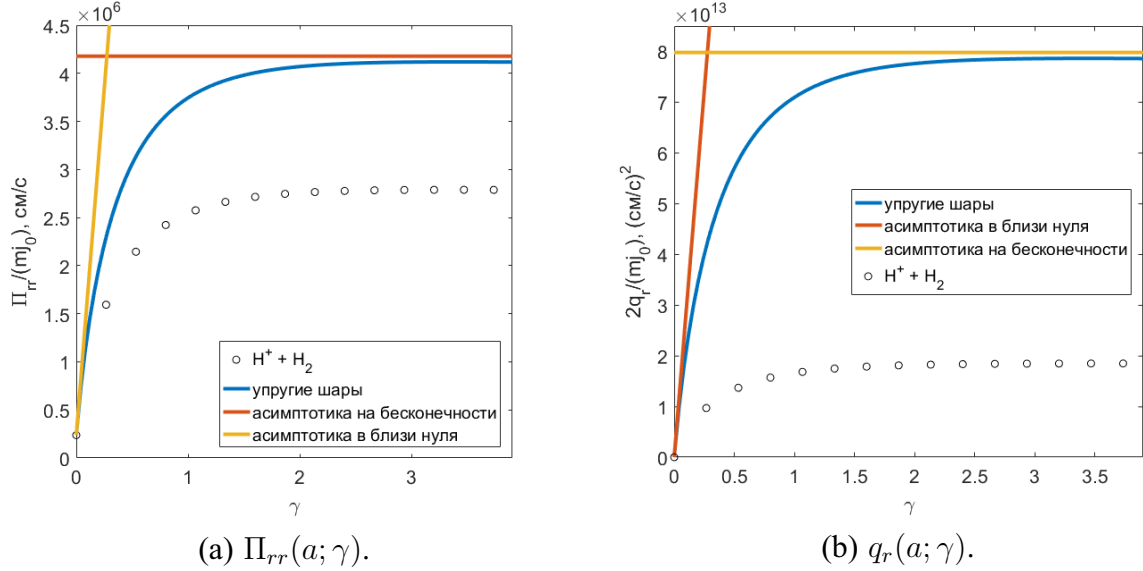


Рис. 12. Зависимость плотности потока импульса и плотности потока тепла из плазмы от γ в модели упругих шаров (с асимптотикой $\gamma \gg 1$ и $\gamma \ll 1$) и модели с реальным сечением для упругих столкновений $H^+ + H_2$. $T_i = 100 \text{ эВ}$, $n_0 = 10^{13} \text{ см}^{-3}$, $\frac{v_{T0}}{v_{1T}} = 0.01$.

5.1. PT задача

Запишем стационарное уравнение теплопроводности и баланс сил.

$$\begin{aligned} \frac{1}{r} \frac{\partial}{\partial r} r q_r &= 0, \\ \frac{1}{r} \frac{\partial}{\partial r} r \Pi_{rr} - \frac{\Pi_{\theta\theta}}{r} &= 0. \end{aligned} \quad (48)$$

Плотность потока тепла на границе плазмы $q_r(a; \gamma)$, следовательно, поток вне плазмы имеет следующий вид:

$$q_r = \frac{q_r(a; \gamma) a}{r}. \quad (49)$$

Плотность потока импульса на границе плазмы $\Pi_{rr}(a; \gamma)$. Несмотря на то что на границе плазмы распределение газа не максвелловское и $\Pi_{rr} \neq$

$\Pi_{\theta\theta} = \Pi_{zz}$, можно считать, что на расстоянии порядка одной длины свободного пробега газ максвеллизировался, и следовательно $\Pi_{rr} = \Pi_{\theta\theta} = \Pi_{zz}$. То есть уравнение на баланс сил примет очень простой вид:

$$\frac{\partial}{\partial r} \Pi_{rr} = 0. \quad (50)$$

Следовательно, газ вне плазмы имеет постоянное давление $\Pi_{rr} \equiv P_{wall} = \Pi_{rr}(a; \gamma)$.

Поскольку $\vec{q} = -\kappa \nabla T$, выражение (49) является уравнением на температуру:

$$-\kappa \frac{dT}{dr} = \frac{q_r(a; \gamma)a}{r}. \quad (51)$$

$$\kappa = \frac{5}{6} \lambda \langle v \rangle n \propto \sqrt{T}. \quad (52)$$

Выделим зависимость коэффициента теплопроводности от температуры $\kappa(T) = \kappa_0 \sqrt{T}$.

$$\kappa_0 \equiv \frac{5}{9} \frac{1}{\sigma \sqrt{m}} \sim 1.3 \cdot 10^{26} \frac{1}{\text{см}^2 \Gamma^{1/2}} \quad (53)$$

Решение уравнения (51) при фиксированной температуре на стенке T_{wall} :

$$T(r) = \left[T_{wall}^{3/2} - \frac{q_p a}{\kappa_0} \ln \left(\frac{r}{b} \right) \right]^{2/3}, \quad (54)$$

следовательно, из уравнения состояния идеального газа $P = nT$:

$$n(r) = \frac{\Pi_p}{\left[T_{wall}^{3/2} - \frac{q_p a}{\kappa_0} \ln \left(\frac{r}{b} \right) \right]^{2/3}}. \quad (55)$$

5.2. Связь ГУ на стенке с ГУ для задачи внутри плазмы

Задание граничных условий на стенке установки (P_{wall}, T_{wall}) определяет параметры функции распределения входящего в плазму газа, поскольку $\Pi_{rr}(a; \gamma)$ и $q_r(a; \gamma)$ определяются параметрами n_0 и T_0 максвелловского распределения газа, проникающего в плазму. Два уравнения, ко-

торые свяжут n_0 , T_0 с T_{wall} и P_{wall} на границе:

$$\begin{aligned} P_{wall} &= \Pi_p(n_0, T_0), \\ T(a) &= T_0. \end{aligned} \quad (56)$$

Первое уравнений из (56) позволяет легко выразить $n_0(T_0)$, поскольку $\Pi_{rr}(a; \gamma) \propto n_0$ для любого вида взаимодействия сталкивающихся частиц. Введём обозначение $\Pi_{rr}(a; \gamma) \equiv n_0 \Pi_0(T_0)$, где $\Pi_0(T_0)$ уже не зависит от n_0 . В модели упругих шаров получается следующий результат:

$$n_0 = \frac{P_{wall}}{\Pi_0(T_0)}, \quad (57)$$

$$\begin{aligned} \frac{\Pi_0(T_0)}{m} &= \frac{v_{T_0}^2}{\sqrt{\pi}} \left[I_\gamma + \frac{1}{4} \left(3\sqrt{\pi} \operatorname{erf}(\tilde{u}_\varepsilon) + 2\tilde{u}_\varepsilon e^{-\tilde{u}_\varepsilon^2} \right) \right] + Q\pi^{3/2} (2\alpha v_{1T})^4 I_n, \\ I_\gamma &= \int_0^{\tilde{u}_\varepsilon} \tilde{u}_r^2 \exp\left(-\tilde{u}_r^2 - \frac{2\gamma}{\tilde{u}_r}\right) d\tilde{u}_r; \\ I_n &= \int_0^a n_c(r') dr' \left[\left(\frac{1}{2} - u_\varepsilon^2 \right) \operatorname{erfc}(u_\varepsilon) + \frac{e^{-u_\varepsilon^2} u_\varepsilon}{\sqrt{\pi}} \right]. \end{aligned} \quad (58)$$

Решение второго уравнения из (56) даст нам температуру на границе плазмы.

$$\begin{aligned} v_{T_0}^3 - v_{wall}^3 + A \frac{q_0(T_0)}{\Pi_0(T_0)} &= 0, \\ q_r &= n_0 q_0, \\ A &= \frac{18\sqrt{2}}{5} P_{wall} \frac{\sigma}{m} a \ln\left(\frac{a}{b}\right) \sim -3.34 \cdot 10^{11} \left(\frac{\text{см}}{\text{с}}\right)^2 \end{aligned} \quad (59)$$

Решение этого уравнения при $T_1 = 100$ эВ, $v_\varepsilon \approx 2.46 \cdot 10^6 \frac{\text{см}}{\text{с}}$:

$$\begin{aligned} v_{T_0} &\approx 1.27 \cdot 10^6 \frac{\text{см}}{\text{с}}, \\ T_0 &\approx 1.8 \text{ эВ} \sim 21000 \text{ К} \end{aligned} \quad (60)$$

После определения T_0 найдём n_0 из (57). При $P_{wall} = 4.16 \frac{\text{дин}}{\text{см}^2}$ (выбранно так, чтобы при комнатной температуре на стенке, $n_{wall} = 10^{14} \text{ см}^{-3}$)

получим:

$$n_0 \approx 6.09 \cdot 10^{11} \text{ см}^{-3} \quad (61)$$

Теперь можно получить радиальный профиль концентрации газа во всем расширителе (рис. 13).

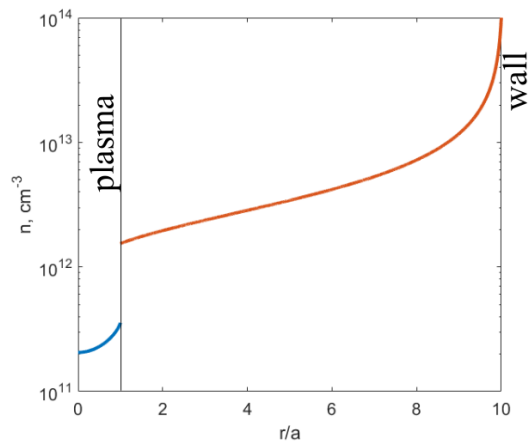


Рис. 13. Радиальный профиль концентрации газа.

6. Выводы

- Построена простая математическая модель, с помощью которой можно определять распределение газа в расширителе открытой ловушки.
- Получен $St(f)$, описывающий однократные столкновения газа и плазмы с плоской границей в пространстве скоростей. $St(f)$ получен для столкновений с большой передачей импульса газу, для произвольной зависимости сечения от энергии сталкивающихся частиц и угла рассеяния.
- Найдена функция распределения газа и вычислены её моменты (поток тепла и импульса) для двух видов взаимодействия частиц: упругие шары и экспериментальное сечение для $H^+ + H_2 \longrightarrow H^+ + H_2$.
- Было показано, что в результате упругих столкновений газа и плазмы в расширителе открытой ловушки концентрация газа в плазме ниже, чем концентрации газа вблизи стенки расширителя. Для параметров установки ГДЛ отношение концентрации газа вблизи стенки к концентрации газа в плазме $n_{wall}/n_p \sim 10^3$.

Список литературы

1. Плазменный семинар. П.А. Багрянский "Продольный транспорт энергии и физика расширителя в магнитной ловушке открытого типа". Стр. 13.
2. Atomic and plasma-material interaction data for fusion, volume 8. International atomic energy agency Vienna, 1998. Стр. 173 - 183.

А. Решение кинетического уравнения

Решим уравнение (18) с граничными условиями (19). Рассмотрим уравнение в области $|v_r| < v_\varepsilon$:

$$v_r \frac{\partial f}{\partial r} = -\nu f. \quad (62)$$

Проинтегрируем это уравнение и получим:

$$f = f(0, \vec{v}) e^{-\frac{\nu r}{v_r}}. \quad (63)$$

Воспользуемся граничным условием $f(a, v_r < 0) = f_0$ для того, чтобы найти $f(0, \vec{v})$:

$$f(0, v_r < 0) = f_0 e^{\frac{\nu a}{v_r}}. \quad (64)$$

Поскольку $f(0, \vec{v}) = f(0, -\vec{v})$, равенство (64) должно выполняться и для положительных v_r . Таким образом найдём $f(0, \vec{v})$:

$$f(0, \vec{v}) = f_0 e^{-\frac{\nu a}{|v_r|}}. \quad (65)$$

В итоге:

$$\boxed{f(r, |v_r| < v_\varepsilon) = f_0 e^{-\frac{\nu a}{|v_r|} - \frac{\nu r}{v_r}}} \quad (66)$$

Теперь рассмотрим уравнение в области $|v_r| > v_\varepsilon$

$$v_r \frac{\partial f}{\partial r} = p(v) n_c(r). \quad (67)$$

Проинтегрируем уравнения (67):

$$f = f(0, \vec{v}) + \frac{p}{v_r} \int_0^r n_c(r') dr'. \quad (68)$$

Аналогичные рассуждения при учёте граничных условий приведут нас к

решению:

$$f(r, |v_r| > v_\varepsilon) = f_0 + \frac{p}{|v_r|} \int_0^a n_c(r') dr' + \frac{p}{v_r} \int_0^r n_c(r') dr' \quad (69)$$

В. Интегралы по скоростям и моменты ФР в модели упругих шаров

В.1. интегралы по v_z и v_θ

Вычислим единственный нетривиальный интеграл возникающий при вычислении $F_r(v_r, r) = \int f dv_z dv_\theta$:

$$\begin{aligned} \int p(v) du_z du_\theta &= 2\pi Q \int \frac{e^{-u_\rho^2 - u_r^2}}{\sqrt{u_\rho^2 + u_r^2}} u_\rho du_\rho = \left[\begin{array}{l} u_\rho^2 \equiv u_\theta^2 + u_z^2 \\ u_\rho^2 + u_r^2 = x \end{array} \right] = \\ \pi Q \int_{u_r^2}^{\infty} \frac{e^{-x}}{\sqrt{x}} dx &= \left[\begin{array}{l} x = t^2 \\ dx = 2t dt \end{array} \right] = 2\pi Q \int_{|u_r|}^{\infty} e^{-t^2} dt \equiv Q\pi^{3/2} \operatorname{erfc}(|u_r|), \end{aligned} \quad (70)$$

$\operatorname{erfc}(x) \equiv 1 - \operatorname{erf}(x) \equiv \frac{2}{\sqrt{\pi}} \int_x^{\infty} e^{-t^2} dt$ - дополнительная функция ошибок.

При вычислении $F_{r\theta}(v_r, v_\theta, r) = \int f dv_z$ возникает аналогичный интеграл:

$$\begin{aligned} \int_{-\infty}^{\infty} \frac{e^{-u_\rho^2 - u_z^2}}{\sqrt{u_\rho^2 + u_z^2}} du_z &= \left[\begin{array}{l} u_\rho^2 \equiv u_r^2 + u_\theta^2 \\ z = \frac{u_z}{u_\rho} \end{array} \right] = \\ &= 2e^{-\frac{u_\rho^2}{2}} \int_0^{\infty} \frac{e^{-\frac{u_\rho^2}{2}(1+2z^2)}}{\sqrt{1+z^2}} dz = \left[\begin{array}{l} 1 + 2z^2 = t \\ dz = \frac{\sqrt{2}}{4} \frac{dt}{\sqrt{t-1}} \end{array} \right] = \\ &= e^{-\frac{u_\rho^2}{2}} \int_1^{\infty} \frac{e^{-\frac{u_\rho^2}{2}t}}{\sqrt{t^2-1}} dt = e^{-\frac{u_\rho^2}{2}} K_0\left(\frac{u_\rho^2}{2}\right), \end{aligned} \quad (71)$$

$K_0(x)$ - функция Макдональда.

В.2. плотность потока импульса

$$\begin{aligned}
\frac{\Pi_{rr}(a; \gamma)}{m} &= \int v_r^2 f d^3v = \int_{-\infty}^{+\infty} v_r^2 F_r(v_r, a) dv_r = \\
&= \frac{n_0 v_{T_0}^2}{\sqrt{\pi}} \underbrace{\int_{|\tilde{u}_r| < \tilde{u}_\varepsilon} \tilde{u}_r^2 \exp\left(-\tilde{u}_r^2 - \frac{\gamma}{\tilde{u}_r} - \frac{\gamma}{|\tilde{u}_r|}\right) d\tilde{u}_r}_{=I_1} + \frac{n_0 v_{T_0}^2}{\sqrt{\pi}} I_2 + (2\alpha v_{1T})^4 Q \pi^{3/2}. \\
&\cdot \left[\int_0^a n_c(r') dr' \left(\underbrace{\int_{|u_r| > u_\varepsilon} |u_r| \operatorname{erfc}(|u_r|) du_r}_{=I_3} + \underbrace{\int_{|u_r| > u_\varepsilon} u_r \operatorname{erfc}(|u_r|) du_r}_{=0} \right) \right], \\
I_1 &= \int_0^{\tilde{u}_\varepsilon} \tilde{u}_r^2 e^{-\tilde{u}_r^2} d\tilde{u}_r + \underbrace{\int_0^{\tilde{u}_\varepsilon} \tilde{u}_r^2 e^{-\tilde{u}_r^2 - \frac{2\gamma}{\tilde{u}_r}} d\tilde{u}_r}_{=I_\gamma} = \frac{\sqrt{\pi}}{4} \operatorname{erf}(\tilde{u}_\varepsilon) - \frac{\tilde{u}_\varepsilon e^{-\tilde{u}_\varepsilon^2}}{2} + I_\gamma. \\
I_2 &= \int_{|\tilde{u}_r| > \tilde{u}_\varepsilon} e^{-\tilde{u}_r^2} \tilde{u}_r^2 d\tilde{u}_r = 2 \int_{\tilde{u}_\varepsilon^2}^{\infty} \frac{1}{2} e^{-\tilde{u}_r^2} \tilde{u}_r d\tilde{u}_r^2 = e^{-\tilde{u}_\varepsilon^2} \tilde{u}_\varepsilon + \int_{\tilde{u}_\varepsilon}^{\infty} e^{-\tilde{u}_r^2} d\tilde{u}_r = \\
&= e^{-\tilde{u}_\varepsilon^2} \tilde{u}_\varepsilon + \frac{\sqrt{\pi}}{2} \operatorname{erfc}(\tilde{u}_\varepsilon). \\
I_3 &= 2 \int_{u_\varepsilon}^{\infty} u_r \operatorname{erfc}(u_r) du_r = \int_{u_\varepsilon^2}^{\infty} \operatorname{erfc}(u_r) du_r^2 = -u_\varepsilon^2 \operatorname{erfc}(u_\varepsilon) - \frac{2}{\sqrt{\pi}} \int_{u_\varepsilon}^{\infty} u_r^2 e^{-u_r^2} du_r = \\
&= -u_\varepsilon^2 \operatorname{erfc}(u_\varepsilon) + \frac{u_\varepsilon e^{-u_\varepsilon^2}}{\sqrt{\pi}} + \frac{\operatorname{erfc}(u_\varepsilon)}{2}.
\end{aligned} \tag{72}$$

Если переписать выражение для $\Pi_{rr}(a; \gamma)$ с учётом вычисленных интегралов, получится (35). Найдём асимптотики интеграла $n_c(r)$ и I_γ в двух предельных случаях ($\gamma \ll 1$ и $\gamma \gg 1$). Для начала преобразуем интеграл

$n_c(r)$:

$$\begin{aligned}
\int_0^a n_c(r') dr' &= \frac{an_0}{\sqrt{\pi}} \int_{-\tilde{u}_\varepsilon}^{\tilde{u}_\varepsilon} \int_0^1 \exp\left(-\frac{\gamma y}{\tilde{u}_r}\right) dy \exp\left(-\tilde{u}_r^2 - \frac{\gamma}{|\tilde{u}_r|}\right) d\tilde{u}_r = \\
&= \frac{an_0}{\gamma\sqrt{\pi}} \int_{-\tilde{u}_\varepsilon}^{\tilde{u}_\varepsilon} \exp\left(-\tilde{u}_r^2 - \frac{\gamma}{|\tilde{u}_r|}\right) \tilde{u}_r \left(1 - e^{-\frac{\gamma}{\tilde{u}_r}}\right) d\tilde{u}_r = \\
&= -\frac{an_0}{\gamma\sqrt{\pi}} \int_{-\tilde{u}_\varepsilon}^{\tilde{u}_\varepsilon} \tilde{u}_r \exp\left(-\tilde{u}_r^2 - \frac{\gamma}{\tilde{u}_r} - \frac{\gamma}{|\tilde{u}_r|}\right) d\tilde{u}_r = \\
&= -\frac{an_0}{\gamma\sqrt{\pi}} \left[\int_0^{\tilde{u}_\varepsilon} \tilde{u}_r e^{-\tilde{u}_r^2 - \frac{2\gamma}{\tilde{u}_r}} d\tilde{u}_r + \frac{1}{2} \left(e^{-\tilde{u}_\varepsilon^2} - 1\right) \right].
\end{aligned} \tag{73}$$

1. $\gamma \ll 1$.

$$\int_0^{\tilde{u}_\varepsilon} \tilde{u}_r e^{-\tilde{u}_r^2 - \frac{2\gamma}{\tilde{u}_r}} d\tilde{u}_r \simeq \int_0^{\tilde{u}_\varepsilon} \tilde{u}_r e^{-\tilde{u}_r^2} - 2\gamma e^{-\tilde{u}_r^2} d\tilde{u}_r = \frac{1}{2} \left(1 - e^{-\tilde{u}_\varepsilon^2}\right) - \gamma\sqrt{\pi} \operatorname{erf}(\tilde{u}_\varepsilon). \tag{74}$$

С учётом (73) и (74), асимптотика для интеграла $n_c(r)$ примет следующий вид:

$$\int_0^a n_c(r') dr' \simeq an_0 \operatorname{erf}(\tilde{u}_\varepsilon). \tag{75}$$

$$I_\gamma \simeq \int_0^{\tilde{u}_\varepsilon} \tilde{u}_r^2 \left(1 - \frac{2\gamma}{\tilde{u}_r}\right) e^{-\tilde{u}_r^2} d\tilde{u}_r = \frac{\sqrt{\pi}}{4} \operatorname{erf}(\tilde{u}_\varepsilon) - \frac{\tilde{u}_\varepsilon e^{-\tilde{u}_\varepsilon^2}}{2} - \gamma \left(1 - e^{-\tilde{u}_\varepsilon^2}\right). \tag{76}$$

Подставив эти асимптотики в (35), получим (39).

2. $\gamma \gg 1$. Из формулы (73) сразу видно, что в данном приделе интеграл $n_c(r)$ примет следующий вид:

$$\int_0^a n_c(r') dr' \simeq \frac{an_0}{2\sqrt{\pi}\gamma} \left(1 - e^{-\tilde{u}_\varepsilon^2}\right). \tag{77}$$

$$I_\gamma \simeq 0. \tag{78}$$

Подставив эти асимптотики в (35), получим (40).

В.3. плотность потока импульса

Для вычисления $q_r(a; \gamma)$ понадобятся следующие интегралы:

$$\begin{aligned}
 J_1(u_r) &= 2\pi \int_0^\infty e^{-\tilde{u}_\rho^2 - \tilde{u}_r^2} (\tilde{u}_\rho^2 + \tilde{u}_r^2) \tilde{u}_\rho d\tilde{u}_\rho = \pi(1 + \tilde{u}_r^2) e^{-\tilde{u}_r^2}; \\
 J_2(u_r) &= 2\pi \int_0^\infty e^{-u_\rho^2 - u_r^2} \sqrt{u_\rho^2 + u_r^2} u_\rho du_\rho = \frac{\pi^{3/2}}{2} \operatorname{erfc}(|u_r|) + \pi|u_r| e^{-u_r^2}.
 \end{aligned} \tag{79}$$

Заметим заранее, что $J_2(u_r)$ - чётная функция. С учётом $J_1(u_r)$ и $J_2(u_r)$ сразу запишем:

$$\begin{aligned}
 \frac{2q_r(a; \gamma)}{m} &= 2\pi \int_{-\infty}^\infty \int_0^\infty (v_r^2 + v_\rho^2) v_r v_\rho f dv_\rho dv_r = \\
 &= \frac{n_0 v_{T_0}^3}{\sqrt{\pi}} \left(\int_0^{\tilde{u}_\varepsilon} \tilde{u}_r (1 + \tilde{u}_r^2) \exp\left(-\tilde{u}_r^2 - \frac{2\gamma}{\tilde{u}_r}\right) d\tilde{u}_r + \underbrace{\int_{\tilde{u}_\varepsilon}^0 \tilde{u}_r (1 + \tilde{u}_r^2) e^{-\tilde{u}_r^2} d\tilde{u}_r}_{=J_3} \right) \\
 &+ (2\alpha v_{1T})^5 Q \int_0^a n_c(r') dr' \left[\underbrace{\int_{|u_r| > u_\varepsilon} J_2(u_r) \frac{u_r}{|u_r|} du_r}_{=0} + \underbrace{\int_{|u_r| > u_\varepsilon} J_2(u_r) du_r}_{=J_4} \right] \\
 J_3 &= \frac{1}{2} (u_\varepsilon^2 + 2) e^{-u_\varepsilon^2} - 1; \\
 J_4 &= 2\pi e^{-u_\varepsilon^2} - \pi^{3/2} u_\varepsilon \operatorname{erfc}(u_\varepsilon).
 \end{aligned} \tag{80}$$

Если переписать выражение для $q_r(a; \gamma)$ с учётом вычисленных интегралов, получится (36). Асимптотики для $q_r(a; \gamma)$ находятся аналогично тому, как это было проделано для $\Pi_{rr}(a; \gamma)$.